

УДК 539.184.22+539.186.3

**СТОЛКНОВИТЕЛЬНОЕ УШИРЕНИЕ  $D_1$   
ЛИНИИ НАТРИЯ  $\lambda=589.6$  нм**

К. Г. Попов и В. П. Рузов

Исследовано уширение резонансной линии  $\lambda=589.6$  нм Na I при столкновениях атомов натрия с инертными, молекулярными газами и атомами натрия. Значения эффективных сечений уширения равны He — 97, H<sub>2</sub> — 112, Ar — 276, NO — 282, CO — 252, N<sub>2</sub>O — 305 Å<sup>2</sup>, сечение резонансного уширения  $164 \cdot 10^{-14}$  см<sup>2</sup>. Исследования показали, что компоненты резонансного дублета по-разному уширяются инертными и молекулярными газами. Обсуждается вклад различных типов взаимодействия в сечения уширения.

Исследование уширения спектральных линий давлением посторонними газами позволяет получать информацию о потенциалах взаимодействия частиц. Особенно большой прогресс достигнут в изучении уширения резонансных линий атомов элементов первой группы при столкновениях с инертными газами, поскольку такие взаимодействующие пары наиболее удобны в экспериментальных исследованиях и доступны для теоретических расчетов. Гораздо менее изучено влияние давления молекулярных газов на ширину спектральных линий, поэтому представляет интерес провести сравнительное изучение уширения спектральных линий при столкновениях с инертными и молекулярными газами. В настоящей работе измерены сечения уширения  $D_1$  линии натрия при столкновениях с Na, инертными (He, Ar) и молекулярными (H<sub>2</sub>, N<sub>2</sub>, NO, CO, N<sub>2</sub>O) газами. Выбор перечисленных объектов обусловлен прежде всего тем, что в настоящее время получены надежные теоретические и экспериментальные данные [1–5] по уширению резонансных линий Na I давлением инертных газов, и прежде всего гелием. Повторение этих исследований дает возможность оценить точность экспериментального метода, использовавшегося в данной работе. С другой стороны, перечисленный набор газов позволяет выяснить вклад различных типов взаимодействий в уширение спектральных линий, так как молекулярные газы обладают довольно широким набором электрических моментов при небольших различиях в поляризуемости (табл. 1). Близость поляризуемостей обеспечивает равенство маскирующих эффектов дисперсионных сил, на фоне которых проявляются другие типы взаимодействий, а равенство молекулярных весов приводит к тому, что расстояния наибольшего сближения сталкивающихся частиц будут одинаковы.

**Уширение посторонними газами**

Исследование уширения  $D_1$  линии Na I ( $\lambda=589.6$  нм) проводилось методом Вейнгерова [6], фотоэлектрический вариант которого подробно описан нами в работах [7, 8]. Непосредственно измеряемой величиной в данном методе является отношение ширины лоренцевского контура линии  $\gamma$  к константе  $rH$ , связанной с зеemanовским расщеплением ( $H$  — напряженность магнитного поля). На рис. 1 в качестве примера приведена зависимость величины  $\gamma/rH$  для  $D_1$  линии Na I от давления He.

Таблица 1  
Значения эффективных сечений уширения и характеристик газов

Газ	$\alpha \cdot 10^{24}$ , см <sup>3</sup>	$q \cdot 10^{26}$ , СГСЕ	$\mu \cdot 10^{18}$ , СГСЕ	$T$ , К	$\sigma$ , Å <sup>2</sup>	$\frac{\sigma(D_1)}{\sigma(D_2)}^*$
N <sub>2</sub> O	2.92	4.2	0.17	582	305 ± 3	1.22 ± 0.09
CO	1.94	2.1	0.1	595	252 ± 9	1.10 ± 0.06
N <sub>2</sub>	1.75	1.6	0	580	{ 270 ± 10 224 [10]}	1.20 ± 0.1
NO	1.70	2.0	0.16	583	{ 282 ± 9 276 ± 15}	1.22 ± 0.05
Ar	1.64	0	0	585	{ 238 ± 20 [1] 297 [3] 261 ± 4 [10]}	1.21 ± 0.09 1.22 [1] 1.16 [3]
H <sub>2</sub>	0.82	0.6	0	584	{ 112 ± 1 110 ± 2 [10]}	1.03 ± 0.06
He	0.20	0	0	577	{ 97 ± 4 113 ± 6 [1] 91 ± 6 [2] 112 [4] 88 [5] 136 ± 20 [9] 102 ± 2 [10]}	0.84 ± 0.04 0.87 [1] 0.94 [2] 0.96 [4] 0.86 ± 0.2 [9] —

\* Отношения сечений получены с использованием данных работ [7, 8], параметры молекул взяты из [11, 12],  $\alpha$  — поляризуемость,  $q$  — квадрупольный момент,  $\mu$  — дипольный момент.

Во всех исследованных нами случаях наблюдалась строгая линейная зависимость ширины линии от давления, величина которого не превышала 15 тор. В табл. 1 указаны полученные значения эффективных сечений уширения  $\sigma$  и условия эксперимента. Среднеквадратичная погрешность характеризует воспроизводимость результатов.

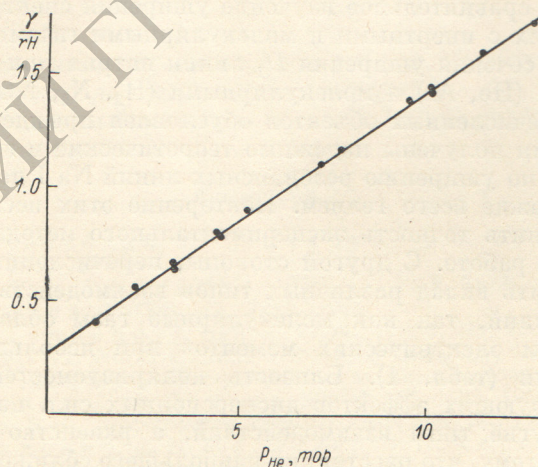


Рис. 1. Зависимость ширины линии от давления атомов гелия.

$$rH = 5.47 \cdot 10^8 \text{ рад/с}, Nfl = 14.5 \cdot 10^{14} \text{ см}^{-2}.$$

Прежде чем перейти к обсуждению полученных результатов, необходимо сделать замечание о форме контура спектральной линии. Метод Вейнгерова относится к числу так называемых «косвенных» методов измерения ширины линии. Измеряемая величина  $\gamma/rH$  находится по углу  $\phi$  между полюроидами системы. В предположении лоренцевского контура можно получить аналитическую связь между  $\gamma/rH$  и  $\phi$  [7]. Если контур исследуемой линии лоренцевский, то значение  $\gamma$ , определенное при раз-

личных напряженностях магнитного поля (и, следовательно, различных  $\varphi$ ), должно быть одинаковым. В табл. 2 приведена сводка данных по измерению ширины линии  $\lambda=589.6$  нм Na I, уширенной давлением атомов аргона. Погрешность  $\Delta\gamma$  соответствует ошибке 5' в измерении угла  $\varphi$ . Как видно из данных табл. 2, при увеличении напряженности магнитного поля в 4 раза значение  $\gamma$  практически не меняется; таким образом, можно считать, что контур линии лоренцевский. Аналогичные измерения были проведены и для других газов.

Таблица 2

$H$ , гс	$\gamma/rH$	$\gamma \cdot 10^7$ , рад/с	$\varphi$ , град
40.9	0.73	$35 \pm 1$	10.25
30.3	0.98	$35 \pm 2$	8.75
20.2	1.47	$35 \pm 3$	6.75
10.5	2.67	$33 \pm 6$	4.25

### Обсуждение результатов измерений

**Инертные газы.** Наиболее тщательно теоретически и экспериментально [1-5, 9] изучено уширение  $D_1$  линии Na I при столкновениях с атомами гелия. В большинстве цитируемых работ приведена величина константы уширения  $\gamma/N$ , значения сечений уширения были вычислены нами и приведены для сравнения в табл. 1. Как видно из данных этой таблицы, результаты разных авторов по уширению гелием хорошо согласуются между собой, исключение составляют лишь данные работы [9], в которой получено несколько завышенное значение  $\sigma$ . Наши исследования [7] подтверждают различие в уширении резонансных линий натрия: отношение сечений уширения гелием согласуется в пределах погрешностей с данными других работ [1-4, 9].

В случае уширения давлением аргона различие экспериментальных данных достигает 20%. Измеренное нами значение  $\sigma$  лучше всего согласуется с данными Шутца [10] и результатами расчета, проведенного в работе [3]. Несмотря на различие в абсолютных значениях эффективных сечений, отношение  $\sigma(D_1)/\sigma(D_2)$  практически одно и то же у всех авторов. Обращает на себя внимание тот факт, что в тех случаях, когда основной вклад в уширение вносят силы притяжения (Ar), отношение сечений уширения  $D_1$ - и  $D_2$ -линий больше единицы, в случае сил отталкивания (He) — меньше единицы.

**Молекулярные газы.** Уширение  $D_1$ -линии натрия молекулярными газами ( $H_2$ ,  $N_2$ ) при низких давлениях исследовалось лишь в работе Шутца [10]. Приведенные нами значения сечений уширения для водорода совпадают в пределах указанных погрешностей с данными работы [10], а сечения уширения азотом отличаются на 19%. Такое расхождение связано с тем, что автор работы [10] использовал недостаточно чувствительный, визуальный метод регистрации и не разделял компонент дублета. Как видно из данных табл. 1, за исключением водорода, все молекулярные газы по-разному уширяют компоненты резонансного дублета натрия. В среднем отношение сечений  $\sigma_{D_1}$  и  $\sigma_{D_2}$  равно 1.2. Такое же отношение сечений наблюдается и при уширении давлением аргона, следовательно, можно предположить, что вклады потенциалов, обусловленных дипольными и квадрупольными моментами использованных молекул, не проявляются в уширении спектральных линий. Интересно сравнить отношения эффективных сечений уширения в ряду Ar—NO— $N_2$ —CO— $N_2O$ . Если взаимодействие атома натрия с тяжелыми возмущающими газами имеет чисто дисперсионный характер и пропорционально поляризуемости молекулы  $\alpha$ , то отношения сечений должны быть пропорцио-

нальны  $(\alpha/\bar{v})^{2/5}$  ( $\bar{v}$  — относительная скорость). На основании данных табл. 1 и результатов предыдущих измерений [7, 8] можно получить

$$\left. \begin{aligned} D_1 \sigma_{Ar} : \sigma_{NO} : \sigma_{N_2} : \sigma_{CO} : \sigma_{N_2O} &= 1 : 1.02 : 0.97 : 0.91 : 1.11, \\ D_2 \sigma_{Ar} : \sigma_{NO} : \sigma_{N_2} : \sigma_{CO} : \sigma_{N_2O} &= 1 : 1.01 : 0.97 : 1.01 : 1.1, \\ \text{теория } \left(\frac{\alpha}{\bar{v}}\right)_{Ar}^{2/5} : \left(\frac{\alpha}{\bar{v}}\right)_{NO}^{2/5} : \left(\frac{\alpha}{\bar{v}}\right)_{N_2}^{2/5} : \left(\frac{\alpha}{\bar{v}}\right)_{CO}^{2/5} : \left(\frac{\alpha}{\bar{v}}\right)_{N_2O}^{2/5} &= 1 : 0.99 : 1.00 : 1.03 : 1.27. \end{aligned} \right\} \quad (1)$$

Из (1) видно, что с высокой степенью точности ( $\leq 3\%$ ) отношения сечений близки к результатам, предсказанным теорией при вандерваальсовском взаимодействии. Исключение составляет лишь случай уширения молекулами  $N_2O$ , для которого различие около 14%. По-видимому, только при уширении молекулами  $N_2O$ , имеющими наибольший квадрупольный и дипольный моменты, взаимодействие отличается от дисперсионного.

Резонансное уширение. На рис. 2 приведен график зависимости ширины линии  $\lambda=589.6$  нм от концентрации поглощающих атомов (величины  $Nfl$ ). Обработка экспериментальных данных методом наименьших квадратов показала, что значение естественной ширины линии  $\gamma=(0.62 \pm 0.04) \cdot 10^8$  рад  $s^{-1}$  в пределах погрешности равно обще-

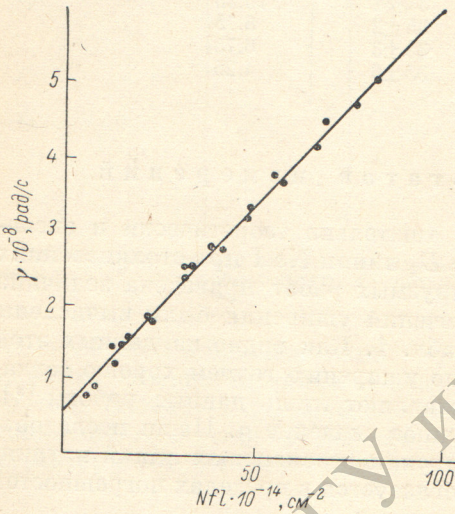


Рис. 2. Зависимость ширины линии от концентрации атомов натрия (величины  $Nfl$ ).  $l=(19 \pm 1)$  см.

принятому значению [13]. Величина эффективного сечения резонансного уширения  $\sigma_{Na}=(164 \pm 4) \cdot 10^{-14}$  см<sup>2</sup>. Это значение хорошо согласуется с теоретическим  $\sigma=154 \cdot 10^{-14}$  см<sup>2</sup>, вычисленным по формуле [14]

$$\sigma = k \frac{\pi e^2}{m \omega_0} \sqrt{\frac{2J_0 + 1}{2J_1 + 1}} \frac{f}{\bar{v}}, \quad (2)$$

где  $\pi$ ,  $e$ ,  $m$  — известные постоянные;  $\omega_0$ ,  $f$  — частота и сила осциллятора исследуемого перехода;  $J_0$ ,  $J_1$  — полные моменты нижнего и верхнего состояний;  $\bar{v}$  — относительная скорость атомов Na. Значение множителя  $k$  в (2) бралось равным двум, так как в этом случае наблюдается наилучшее согласие экспериментальных данных и вычислений [15]. Значение сечения резонансного уширения  $\sigma=229 \cdot 10^{-14}$  см<sup>2</sup> [16] существенно завышено, причиной этого, на наш взгляд, могут быть как систематические ошибки в определении концентрации атомов натрия по данным упругости паров, так и искажения дисперсионного контура линии допплеровским уширением.

В данной работе измерены эффективные сечения уширения  $D_1$  линии натрия при столкновениях с атомами собственного и примесных газов (He, Ar, H<sub>2</sub>, N<sub>2</sub>, CO, NO, N<sub>2</sub>O). Полученные значения  $\sigma_{He}$  и  $\sigma_{Ar}$  хорошо согласуются с имеющимися литературными данными.

Показано, что обе компоненты резонансного дублета Na I по-разному уширяются примесными молекулярными газами. Отношение сечений уширения давлением тяжелых газов в среднем равно 1.2.

Отношение эффективных сечений уширения в ряду Ar—N<sub>2</sub>—NO—CO, вычисленных в предположении чистого дисперсионного потенциала взаимодействия, с большой степенью точности совпадают с отношениями

экспериментальных значений  $\sigma$ . Это говорит о том, что потенциал взаимодействия, обусловленный дипольными и квадрупольными моментами молекул, не вносит заметного вклада в уширение спектральных линий.

Время жизни  $3^2P_{1/2}$ -уровня атома натрия, измеренное в данной работе, хорошо согласуется с общепринятым значением  $\tau = 16$  нс.

Исследование резонансного уширения линии  $\lambda = 589.6$  нм указывает на хорошее согласие результатов измерений и теории.

Авторы глубоко благодарны Н. П. Пенкину за постоянное внимание к работе и полезные обсуждения.

### Литература

- [1] D. G. McCartan, J. M. Farr. J. Phys. B, 9, 985, 1976.
- [2] J. P. Deleage, D. Kunth, G. Testor, F. Rostas, E. Roueff. J. Phys. B., 6, 1892, 1973.
- [3] N. Lwin, D. G. McCartan, E. L. Lewis. J. Phys. B, 9, L 161, 1976.
- [4] A. D. Wilson, J. Shimoni. J. Phys. B, 8, 2415, 1975.
- [5] J. F. Kielkopf. J. Phys. B, 9, 547, 1976.
- [6] M. Weingeroff. Zeits. f. Phys., 67, 679, 1931.
- [7] К. Г. Попов, В. П. Рузов. Вестн. ЛГУ, № 4, 31, 1979.
- [8] К. Г. Попов, В. П. Рузов, Ю. А. Салганик, В. Н. Сивков. Опт. и спектр., 46, 40, 1979.
- [9] G. H. Copley. Can. J. Phys., 54, 619, 1976.
- [10] W. Schütz. Z. f. Phys., 45, 30, 1927.
- [11] Б. М. Смирнов. Асимптотические методы в теории атомных столкновений. Атомиздат, М., 1973.
- [12] Дж. Гиршфельдер, Ч. Кертис, Р. Берд. Молекулярная теория газов и жидкостей. ИЛ, М., 1961.
- [13] М. П. Чайка. Интерференция вырожденных атомных состояний. ЛГУ, Л. 1975.
- [14] И. И. Собельман. Введение в теорию атомных спектров. ФМЛ, М., 1963.
- [15] Н. П. Пенкин, Л. Н. Шабанова. Опт. и спектр., 34, 639, 1973.
- [16] М. С. Армане, М. А. Лиепакула. В сб.: Сенсибилизированная флуоресценция смесей паров металлов, 6, Рига, 1977.

Поступило в Редакцию 6 апреля 1979 г.